

晶体管 h_{FE} 电流关系的一点注记

易 明 锐

(北京半导体器件研究所)

1983年3月19日收到

提 要

本文重新评价了晶体管电流放大系数 h_{FE} 的电流关系, 结果表明, h_{FE} 的最大值 $h_{FE\max}$ 可能远小于其理想值 h_{FEO} 。指出在晶体管的某些物理研究中应考虑到这一情况。

一、引言

晶体管 h_{FE} 的小电流与大电流下降现象及其机理已是熟知的^[1-6]。然而, 许多作者在研究中又经常假定(或暗含): 在一个适当的“中等电流”区内, 两方面的下降机构的影响都可以忽略, 即认为此区域内 h_{FE} 等于其理想值 h_{FEO} 。本注记的目的即在于表明, 实际器件中情况可能远不是这样。本文利用 Gummel-Poon 方程^[7], 导出一个宽范围的 h_{FE} 电流关系表达式, 并应用这一模型实验研究了几种不同类型的器件。结果表明, 在实验的器件中, 由于势垒复合与基区电导调制, 导致 h_{FE} 的最大值 $h_{FE\max}$ 远低于 h_{FEO} , 比值 $h_{FE\max}/h_{FEO}$ 最高的也只达到 75%, 而低的只有 30%。

二、 h_{FE} 的宽范围电流关系

在正向有源区, 集电极电流的 Gummel-Poon 方程^[7]可写为

$$I_C = I_S \frac{\exp(V_{BE}/V_T)}{1 + (I_C \tau_F K / Q_B)}. \quad (1)$$

其中 $Q_B = qA_E G_B$, $G_B \triangleq \int_0^{W_B} N_B(x) dx$ 为基区 Gummel 数, $I_S = qD_B n_i^2 A_E / G_B$, τ_F 为基区渡越时间, K 是描述基区纵向扩展效应的因子, $V_T = kT/q$ 。对于基极电流, 考虑发射区复合 (I_{B1})、发射结势垒复合 (I_{B2}), 以及基区复合 (I_{B3}) 等三个分量:

$$I_{B1} = I_{ES} \exp(V_{BE}/V_T), \quad (2)$$

$$I_{B2} = I_\tau \exp(V_{BE}/nV_T), \quad (3)$$

$$I_{B3} = I_C \tau_F K / \tau_{BF}. \quad (4)$$

其中, $I_{ES} = qn_i^2 D_E A_E / G_E$, G_E 为发射区 Gummel 数, $I_\tau = qn_i A_E d_E / 2\tau$ 为势垒复合电流常数 (d_E 为势垒厚度, τ 为势垒复合寿命), τ_{BF} 为基区复合有效寿命。由式(1)–(4)得到 h_{FE} 的电流关系式为

$$h_{FE} = \frac{h_{FEO}}{1 + aK\delta + b(1 + K\delta)^{\frac{1}{n}}\delta^{\frac{1-a}{n}} + (1-a)(K-1)} \quad (5)$$

其中

$$h_{FEO} = \frac{\beta_r \beta_v}{\beta_r + \beta_v} = a\beta_r, \quad (6)$$

$$a = \frac{1}{1+m}, \quad m = \beta_r / \beta_v, \quad (7)$$

$$b = h_{FEO} \frac{I_r}{I_{CO}} \left(\frac{I_{CO}}{I_s} \right)^{\frac{1}{n}}, \quad (8)$$

$$\delta = I_c / I_{CO} = I_c / A_E J_{CO}. \quad (9)$$

其中, $\beta_r = I_s / I_{ES}$ 与 $\beta_v = \tau_{BF} / \tau_F$ 分别是注射效率与基区输运效率限制的电流放大系数, $J_{CO} = qG_B / \tau_F$ 是基区大注入临界电流密度. 设 τ_F 与 τ_{BF} 随注入强度的变化是微弱的, 则式(5)中除 K 以外, a 、 b 、 h_{FEO} 及 J_{CO} 等四个模型参数近似与 I_c 无关. 势垒复合指数因子 n 也与 I_c 无关. 这样, 在不考虑基区纵向扩展效应, 即 $K = 1$ 时, 对式(5)微分可得

$$h_{FEmax} = \frac{h_{FEO}}{1 + a\delta_{max} \frac{1 + 2(n-1)(1+\delta_{max})}{1 + (n-2)(1+\delta_{max})}}. \quad (10)$$

其中归一化极值电流 δ_{max} 由下式给出

$$\frac{b}{a} = \frac{n(1 + \delta_{max})^{\frac{n-1}{n}} \delta_{max}^{\frac{2n-1}{n}}}{1 + (n-2)(1 + \delta_{max})}. \quad (11)$$

图1给出了按式(10)与(11)计算的 h_{FEmax}/h_{FEO} 对参数 b 的关系.

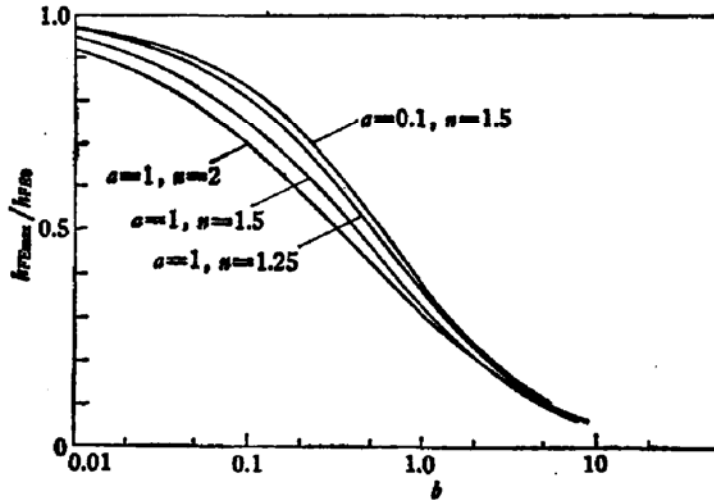


图1 h_{FEmax}/h_{FEO} 对 b 的关系

为了估计实际器件的 h_{FEmax} 与理想值 h_{FEO} 之间的差距, 需要将式(5)的模型与测量的 $h_{FB}-I_c$ 曲线进行拟合, 得出 a 、 b 、 n 三个参数, 从而得到比值 h_{FEmax}/h_{FEO} . 为了方便, 图2给出了按式(5)计算的, $K = a = 1$, $n = 1.5$ 时的一组归一化 $h_{FE}-I_c$ 曲线. 当参数 $a < 1$ 时, h_{FB} 的大电流下降向大电流方向推移. 但在硅器件中通常可设 $a = 1$. 因

为硅平面管的 τ_F 在 0.1 毫微秒数量级, 而 τ_{BF} 在微秒级以上^[8], 故 β_V 为 10^4 数量级。另一方面, 由于发射极重掺杂引起能隙收缩, 导致 β_T 下降, 因而硅管中通常有 $\beta_V \gg \beta_T$, 即

$a \approx 1$ 。只是在掺金器件中由于 τ_{BF} 大大降低, 可能出现 $a < 1$ 的情形。对于 GaAs 晶体管, 特别是宽发射极晶体管 (Npn 与 NpN)^[9], 由于不仅具有低的少子寿命, 而且发射极能隙比基区大若干 kT , 因而应该有 $\beta_T \gg \beta_V$, 即 $a \approx 0$ 。

因子 K 的影响将导致 h_{FE} 在大电流方向更迅速的下降, 但只要收集区的大注入临界电流 (I_0) 大于式(11)的 δ_{max} 对应的 I_{Cmax} 值, 那么 h_{FEmax}

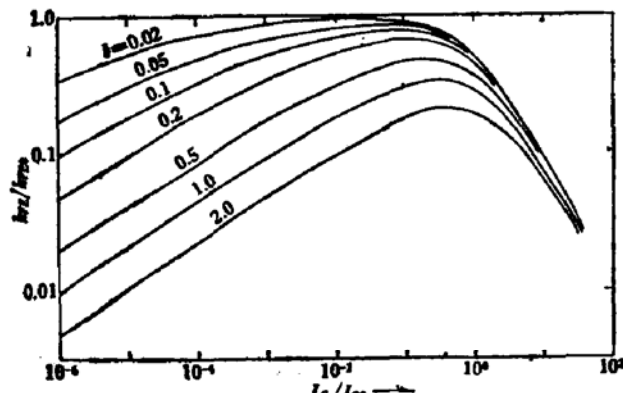


图 2 一组典型情况的归一化 h_{FE} - I_C 曲线
($a = 1$, $n = 1.5$, $K = 1$)

仍将由式(10)与(11)决定, 不受 K 的影响。临界电流 I_0 的计算通常分为强场与弱场情况, 这些结果是熟知的^[10,11]。文献[12]作过更细致的划分。这里顺便给出一个统一的结果: 对迁移率 μ 的场强关系采用下述的解析近似^[13]

$$\mu = \frac{\mu_0}{\sqrt{1 + \left(\frac{\mu_0 E}{v_t}\right)^2}} = \frac{\mu_0}{\sqrt{1 + \left(\frac{E}{E_c}\right)^2}}, \quad (12)$$

则可得集电极大注入临界电流密度及因子 K 为

$$J_0 = \frac{J_{02}}{\sqrt{1 + \left(\frac{J_{02}}{J_{01}}\right)^2}} = \frac{J_{02}}{\sqrt{1 + \left(\frac{E_c}{E}\right)^2}}, \quad (13)$$

$$K = 1 + \frac{W_c^2}{4qD_c\tau_F} \left[1 - \frac{J_0}{J_c} \sqrt{1 + \left(\frac{J_{02}}{J_{01}}\right)^2 \left(1 - \frac{J_c^2}{J_{02}^2}\right)} \right]^2 \quad (14)$$

其中 $J_{01} = q\mu_0 N_C V_{CE} / W_c = (E/E_c) J_{02}$ 为线性弱场情况的临界电流密度, $J_{02} = qN_C v_t$, v_t 为极限漂移速度, $E_c = v_t/\mu_0$ 为临界电场强度。式(14)(代入式(5))可以用来拟合基区纵向扩展情况下 h_{FE} 的大电流下降。但是, 在仅对获知比值 h_{FEmax}/h_{FEO} 感兴趣时, 只要判断大电流下降机构是否属于基区纵向扩展效应, 以及是否影响到 h_{FEmax} 值, 而不必用式(14)进行实际拟合。

三、实验结果与讨论

测量了几种集成的与分立的晶体管。图 3 为集成晶体管阵 LM3045J、BGF3045 与超增益差分对管 EDM29 的 h_{FE} - I_C 特性, 其中拟合曲线按 $K = 1$ 的情形计算, 取模型参数 $a = 1$, n 与 b 则由拟合确定。 I_{Co} 从差分法测 n^* 的结果获得^[14,15], 分别为: 50mA (BGF3045)、18mA(LM3045J)、13mA (EDM29, No. 2)、与 9mA (EDM29, No. 3)。图 3 中拟合曲线的比值 h_{FEmax}/h_{FEO} 也列于图下表中。曲线 1 和 2 在整个测量电流范围

内与测量点拟合,表明该两种器件的 h_{FE} 大电流下降属于基区大注入效应。而曲线 3 与 4 在大电流区域与实验点的显著分歧表明,在 EDM29 中 h_{FE} 的大电流下降属于集电极大注入效应。

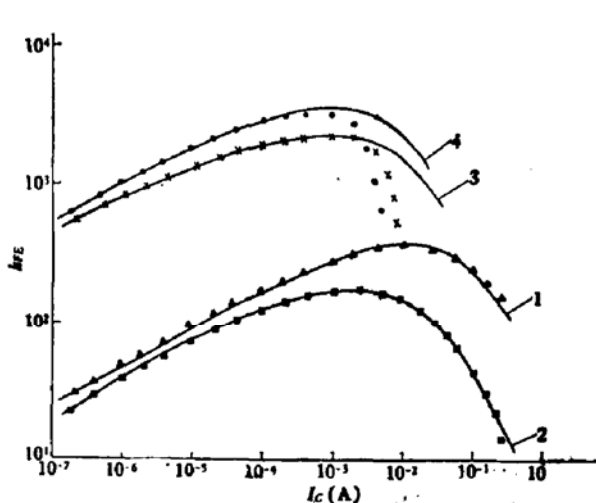


图 3 几种集成晶体管的 h_{FE} - I_C 测量点 ($V_{CE} = 5.7$ 伏) 及其拟合曲线

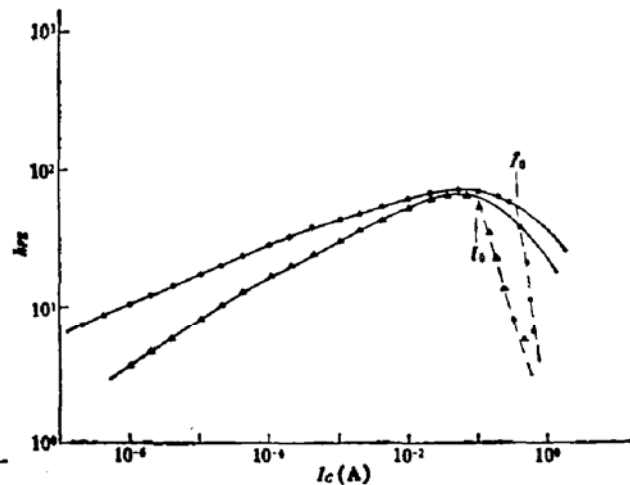


图 4 高频管 3DA37C 与开关管 3DK3E 的 h_{FE} - I_C 测量点 ($V_{CE} = 5.7$ 伏) 及其拟合曲线(实线为 $K = 1$ 的情形)

曲 线	样品型号	a	b	n	I_{CO}	h_{FEmax}/h_{FEO}
#1	BGF3045	1	1	1.4	50mA	0.33
#2	LM3045J	1	0.25	1.5	18mA	0.6
#3	EDM29(No.2)	1	0.1	1.5	13mA	0.75
#4	EDM29(No.3)	1	0.2	1.5	9mA	0.65

图 4 是高频晶体管 3DA37C 与开关管 3DK3E 的 h_{FE} - I_C 测量结果及其拟合曲线,其中 I_{CO} 由输出电导 g_o 的测量结果获得^[16],分别为 170mA(3DA37C)与 130mA(3DK3E)。参数 a 选取为 $a = 1$ (3DA37C) 与 $a = 0.1$ (3DK3E)。图中两种器件的 h_{FE} 大电流下降显然也属于基区扩展效应,其中虚线是计及 K 因子后的拟合结果。所用的因子 K 的拟合参数也列于图下表中,其中临界电流 I_0 按实测点的变化趋势估计,如图中箭头所示。

本文的研究表明,由于势垒复合与基区电导调制的影响,实际晶体管的 h_{FEmax} 可能远低于其理想值 h_{FEO} 。在某些研究中,例如在试图将 h_{FE} 的温度系数与发射区能隙收缩的数据作比较时^[17],似应考虑到这一情况。在晶体管模型参数的统计关系中^[18], h_{FEmax} 与主控参数 I_s 之间的相关系数较小也可归因于 h_{FEmax} 与理想值 h_{FEO} 的差距。

样品型号	a	b	n	I_{CO}	$W_C^2/4qD_C\tau_F$	I_0	J_{01}/J_{02}	h_{FEmax}/h_{FEO}
3DA37C	1	1	1.5	170mA	20	100mA	0	0.33
3DK3E	0.1	1.5	1.3	130mA	20	350mA	0.5	0.3

参 考 文 献

- [1] P. Schmidt and M. B. Das, *Solid-State Electronics*, **15**, 107 (1972).
- [2] J. Olmstead, et al., *RCA Review*, **32**, June, 222 (1971).
- [3] R. J. Whittier and D. A. Tremere, *IEEE Trans. Electron Devices*, **ED-16**, 39 (1969).
- [4] D. Buhanan, *ibid.*, **ED-16**, 117 (1969).
- [5] P. L. Hower, *ibid.*, **ED-20**, 426 (1973).
- [6] L. E. Clark, *ibid.*, **ED-17**, 661 (1970).
- [7] H. K. Gummel and H. C. Poon, *BSTJ*, **49**, 827 (1970).
- [8] W. P. Dumke, *IEEE Trans. Electron Devices*, **ED-28**, 494 (1981).
- [9] H. Beneking, et al., *Microelectronics Journal*, **13**, 5 (1982).
- [10] 林昭炯、韩汝琦, 晶体管原理与设计, 科学出版社(1979)
- [11] 陈星弼, 唐茂成, 晶体管原理, 国防出版社 (1981).
- [12] G. Rey et al., *Solid-State Electronics*, **18**, 863 (1975).
- [13] B. Ranftt and H. -M. Rein, *Microelectronics Journal*, **13**, 23 (1982).
- [14] 易明锐, 集成运算放大器(分析与设计), 科学出版社 (1983).
- [15] 陈星弼、易明锐, 物理学报, **27**, 10(1978).
- [16] M. G. Yi, *Electronics Letters*, **16**, 861 (1980).
- [17] H. M. Rein, et al., *Solid-State Electronics*, **21**, 439 (1978).
- [18] D. A. Divekar, et al., *IEEE J. Solid-State Circuits*, **SC-12**, 552 (1977).

On The Current Dependence of Bipolar Transistor DC Current Gain Factor

Yi Mingguang

(Beijing Research Institute of Semiconductor Devices)

Abstract

A critical reappraisal is made of the current dependence of the DC current gain factor h_{FE} of bipolar transistors over a wide range of currents. Among other important results it is shown that the maximum value of h_{FE} can possibly be much less than its ideal value h_{FE0} .